

Г.А. СТОГНИЙ, В.В. СТОГНИЙ

## ГРАНИТОГНЕЙСОВЫЕ КУПОЛЫ – РУДОКОНТРОЛИРУЮЩИЕ СТРУКТУРЫ ВЕРХОЯНО-КОЛЫМСКОЙ ОРОГЕННОЙ ОБЛАСТИ

Рассмотрена роль Тарынского, Эчийского, Куларского и Хараулахского гранитогнейсовых куполов кристаллического фундамента Верхояно-Колымской орогенной области в локализации мезозойского кислого магматизма, а также золотого и серебряного оруденения. Факторами, контролирующими оруденение, являются состав протолита гранитогнейсового купола, уровень его эрозионного среза, направленность гидротермального потока, а также наличие в надкульпольной области черносланцевых толщ с повышенным содержанием золота и геохимических барьера.

Гранитогнейсовые куполы являются характерным тектоническим элементом раннедокембрийской земной коры [10, 17]. По мнению Ф.А. Летникова с соавторами [6], гранитогнейсовые купола – это самоорганизующиеся открытые неравновесные системы, формирующиеся в земной коре под воздействием флюидов, при этом рост купола сопровождается дебазификацией и разуплотнением, генерацией тепла и механической энергии. Гранитогнейсовые куполы как структуры разуплотнения земной коры в поле силы тяжести проявляются

минимумами. Так, в пределах Алдано-Станового щита выделенным гранитогнейсовым куполам соответствуют гравитационные минимумы амплитудой до 35 мГал и размером в поперечнике до 150 км, в контурах которых локализованы районы мезозойского щелочного магматизма и золотого оруденения [11]. На основе этих критериев аналогичные по амплитуде и размерам гравитационные минимумы Верхояно-Колымской орогенной области отождествляются с гранитогнейсовыми куполами кристаллического фундамента – Тарынским, Эчийским, Куларским и Хараулахским (рис. 1). Природа данных гравитационных минимумов связывалась с глубокими (до 18 км) впадинами доверхнепалеозойского основания либо с гранитными батолитами [2, 7].

Гранитогнейсовые куполы представляют собой наиболее проницаемые структуры раннедокембрийской земной коры для флюидов и магматических расплавов, в связи с чем актуальна проблема оценки роли куполов как структур, контролирующих мезозойский магматизм и золотосеребряное оруденение Верхояно-Колымской орогенной области.

Тарынский, Эчийский и Хараулахский гранитогнейсовые куполы расположены в пределах Верхоянского геоблока кристаллического фундамента [12], который в геодинамическом отношении представляет собой пассивную окраину Северо-Азиатского кратона. Ограничивающий его Восточноверхоянский разлом на поверхности выражен разломом Улахан. Куларский гранитогнейсовый купол приурочен к перегибу Восточноверхоянского разлома, разграничитывающего Верхоянский и Приморский геоблоки, его простижение аналогично простианию крупных массивов гранитоидов Приморского геоблока.

**Тарынскому гранитогнейсовому куполу** в плане соответствует вулкано-плутоническая структура Сарычева, включающая Тарынский субвулкан, а также Нельканский, Чингаканский, Одонканский, Орга-Салимский и Бульгуняхский массивы гранитоидов, расположенные практически в центральной части Верхояно-Колымской орогенной области (верхнее течение р. Индигирка). К.Н. Рудич [8], предложивший название данной структуры, ее историю магматических комплексов представлял как четырехэтапный процесс: внедрение малых интрузий основного состава; излияние покровных эффузий

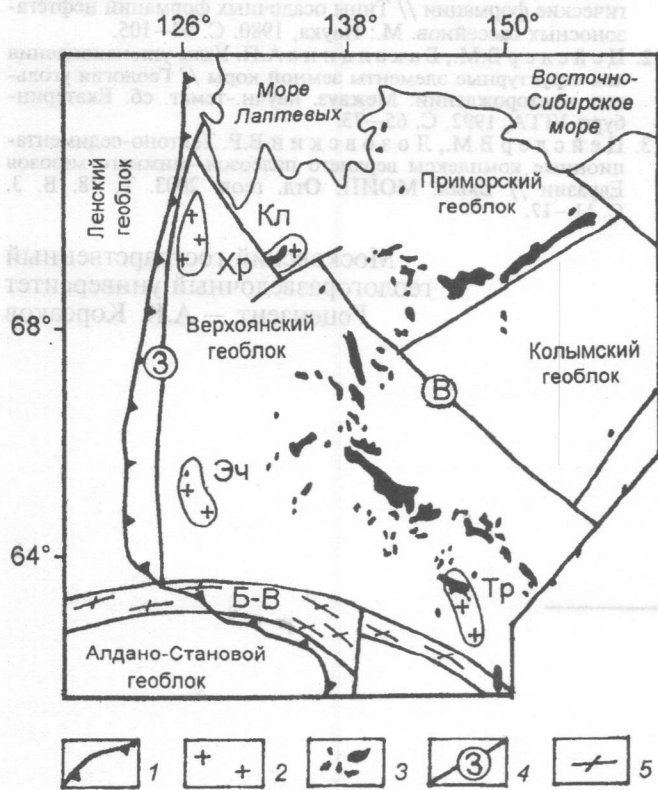


Рис.1. Схема гранитогнейсовых куполов в структуре кристаллического фундамента Верхояно-Колымской орогенной области по [12]: 1 – западная граница Верхояно-Колымской орогенной области; 2 – гранитогнейсовые купола: Кл – Куларский, Тр – Тарынский, Хр – Хараулахский, Эч – Эчийский; 3 – массивы мезозойских гранитоидов; 4 – межгеоблоковые разломы кристаллического фундамента (В – Восточноверхоянский, З – Западноверхоянский); 5 – Байкало-Вилюйский (Б-В) позднепротерозойский подвижный метаморфический пояс

зов; внедрение Тарынского субвулкана; становление гранитоидных массивов. А.Г. Бахарев с соавторами [3] образование плутонических комплексов структуры Сарычева связывает с коллизией Колымо-Омолонского супертеррейна и Сибирского континента, а проявления вулканализма — с субмеридиональными разломами древнего заложения. По Л.М. Парфенову [15], структура Сарычева «сшивает» Верхоянский складчато-надвиговый пояс и Кулар-Нерский террейн. В пределах вулкано-плутонической структуры Сарычева известно несколько рудопроявлений серебра (Купольное, Сахчан, Серп, Перевальное, Хара-Тас и др.). По результатам поисково-оценочных работ [16] Купольное обладает ресурсами крупного месторождения серебра.

Выделение невскрытых и уточнение границ известных массивов гранитоидов, а также тектоническое районирование структуры Сарычева проведено по локальной составляющей гравитационного поля, рассчитанной при радиусе осреднения 5 км с вычитанием регионального тренда. Массивы гранитоидов, за исключением Нельканского, проявляются слабыми (до 3 мГал) гравитационными минимумами. Тарынский субвулкан отражается зоной локальных малоамплитудных (до 2 мГал) минимумов, эпицентры которых смещены к его западному борту, что можно связать с увеличением мощности вулканитов в области подводящего канала. Субширотной системой нарушений, проявленной лишь в пределах Тарынского субвулкана, тело которого разбито на пластины шириной 12 км. Магнитное поле структуры Сарычева слабоинтенсивное, можно выделить лишь один субмеридиональный линейный максимум по восточному борту Тарынского субвулкана. Арга-Салинский, Чингаканский, Одонканский массивы гранитоидов, согласно результатам моделирования, имеют V-образную форму, а мощность их не превышает 2 км. Массивы Капризный и Труд представляют собой выходы единого интрузива.

Диагональная система нарушений имеет региональный характер, ей подчинены контуры Левоиндигирского, Усть-Нерского, Куранах-Салинского и Эргеляхского массивов. Образование ортогональной системы тектонических нарушений, по-видимому, вызвано внутривлияющими рифтогенными процессами, а диагональной системы — коллизией Верхоянского и Колымского геоблоков. На это также указывает и геодинамическая обстановка формирования магматических комплексов [15]: риолиты, даситы и гранитоиды структуры Сарычева по составу аналогичны внутривлияющим магматитам, а расположенные севернее них гранитоиды Левоиндигирского и Усть-Нерского массивов — коллизионным магматитам. Тарынский гранитогнейсовый купол также служил структурой, разграничающей Адыча-Тарынский (с юга) и Тенькинский (с севера) разломы.

Модель глубинного строения вулкано-плутонической структуры Сарычева (рис. 2) обосновывается в соответствии с тектономагматической эволюцией Тарынского гранитогнейсового купола и с учетом характерных черт, присущих месторождениям серебра Северо-Востока России [9]: развитие купольных поднятий на фоне вулканических де-

прессий и вулканических грабенов на фоне региональных купольных структур, а также интрузивных корневых частей вулканотектонических сооружений; многоэтапность формирования, наличие двух—трех разновозрастных совмещенных структур в зонах региональных разломов, определяющих их сложное блоковое строение. Тарынский гранитогнейсовый купол как крупная (50×150 км) структура восточной пассивной окраины Северо-Азиатского кратона оформился в позднем протерозое, на что указывают расчетные значения Rb-Sr модельного возраста ( $T_{DM}$ ) протолита даситов Тарынского субвулкана, составляющие  $1570 \pm 200$  млн лет [14]. Судя по развитию метаморфизованного ореола

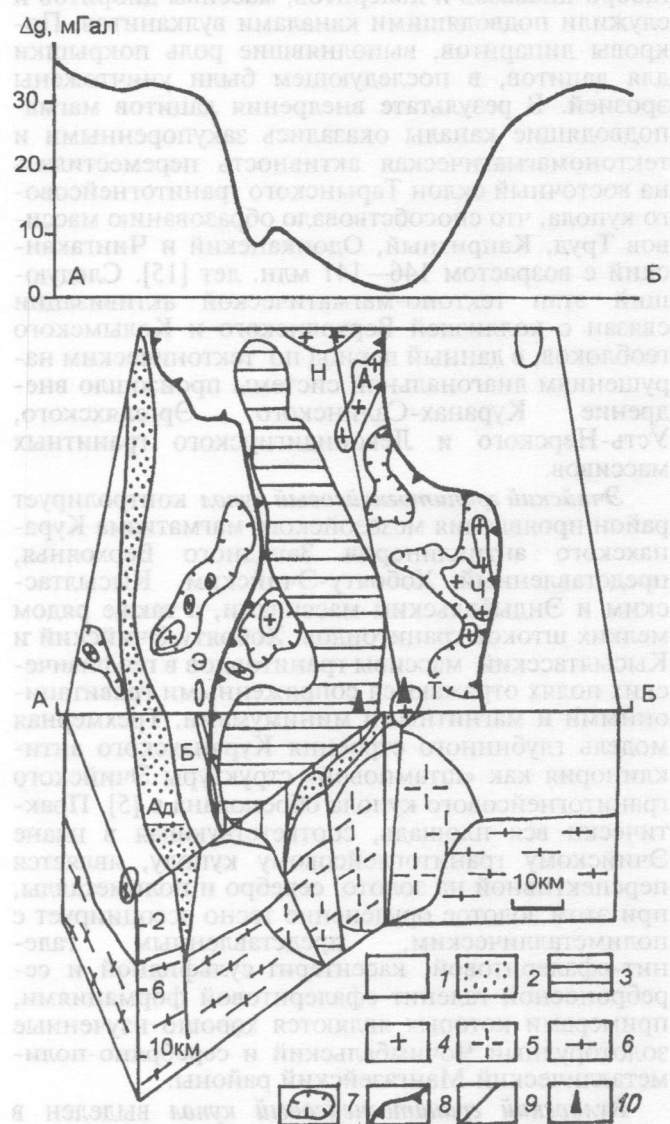


Рис. 2. Модель глубинного строения вулкано-плутонической структуры Сарычева: 1 — верхоянский терригенный комплекс; 2 — верхненорийские отложения, выполняющие рифтогенные структуры (Ад — Адыча-Тарынский трог); 3 — даситы Тарынского субвулкана; 4 — массивы гранитов (А — Арга-Салинский, Н — Нельканский, Т — Труд, Ч — Чингаканский, Э — Эргеляхский); 5 — Тарынский гранитогнейсовый купол; 6 — раннедокембрийский кристаллический фундамент; 7 — контуры массивов гранитов, выделенные по локальным гравитационным минимумам; 8 — контуры тарынского гравитационного минимума; 9 — тектонические нарушения; 10 — месторождения серебра; вверху — кривая силы тяжести по линии АБ

вмещающих терригенных пород в центральной части структуры Сарычева, можно предположить, что верхняя кромка купола здесь находится на глубине до 2 км.

В позднем триасе в условиях пассивной Верхоянской окраины на склонах Тарынского купола и его обрамления была заложена система субмеридиональных рифтогенных структур, заполненных в последующем преимущественно верхненорийскими отложениями. Наиболее крупная из них, представленная Адыча-Тарынским трогом (рис. 2), далее простирается на 600 км в северо-западном направлении [13]. Рифтогенные структуры контролировали дайки и штоки раннеюрских субщелочных габбро-диабазов и долеритов, массивы диоритов и служили подводящими каналами вулканитов. Покровы липаритов, выполнившие роль покрышки для дацитов, в последующем были уничтожены эрозией. В результате внедрения дацитов магматоподводящие каналы оказались закупоренными и тектономагматическая активность переместилась на восточный склон Тарынского гранитогнейсово-го купола, что способствовало образованию массивов Труд, Капризный, Одонканский и Чингаканский с возрастом 146–141 млн. лет [15]. Следующий этап тектономагматической активизации связан с коллизией Верхоянского и Колымского геоблоков, в данный период по тектоническим нарушениям диагональной системы произошло внедрение Куранах-Салинского, Эргеляхского, Усть-Нерского и Левоиндигирского гранитных массивов.

**Эчийский гранитогнейсовый купол** контролирует район проявления мезозойского магматизма Куранахского антиклиниория Западного Верхоянья, представленный Хобояту-Эчийским, Кысылтасским и Эндыбальским массивами, а также рядом мелких штоков гранитоидов. Хобояту-Эчийский и Кысылтасский массивы гранитоидов в геофизических полях отражаются сопряженными гравитационными и магнитными минимумами. Трехмерная модель глубинного строения Куранахского антиклиниория как «штамповой» структуры Эчийского гранитогнейсового купола обоснована в [5]. Практически вся площадь, соответствующая в плане Эчийскому гранитогнейсовому куполу, является перспективной на золото, серебро и полиметаллы, при этом золотое оруденение тесно ассоциирует с полиметаллическим, представленным галенит-сфalerитовой, кассiterит-сульфидной и сереброносной галенит-сфalerитовой формациями, примерами которых являются хорошо изученные золоторудный Чочимбальский и серебряно-полиметаллический Мангазейский районы.

**Куларский гранитогнейсовый купол** выделен в рамках гравитационного минимума, вытянутого в северо-восточном направлении на 150 км и включающего одноименный гранитный пояс (рис. 3). Согласно Л.М. Парфенову [15, с. 290], «геодинамическая природа Куларского гранитного пояса неясна, можно предположить, что здесь мы имеем метаморфическое ядро кордильерского типа». Куларский гранитный пояс приурочен к своду пологой антиформы, сложенной пермскими терригенными отложениями. Мезозойские массивы представлены в основном биотитовыми гранитами и

содержат дайки и жилы аляскитовых гранитов, мелкозернистых биотитовых гранитов и плагиогранитов. Граниты главных фаций кристаллизовались в мезоабиссальных (5–6 км) условиях при 640–500 °C [15].

Схема интерпретации локальной составляющей гравитационного поля Куларского района, рассчитанной при радиусе осреднения 5 км, представлена на рис. 3. Тектонические нарушения, выделенные по зонам горизонтальных градиентов, в северной части района имеют субмеридиональное простирание, их положение подчинено V-образной структуре, замыкающейся на гранитогнейсовом куполе. Данные тектонические нарушения контролируют мелкие невскрытые массивы гранитоидов. Закартированные массивы гранитоидов Куларского пояса (Ойун-Юряхский, Тарбаганахский, Кэрэхский и др.)

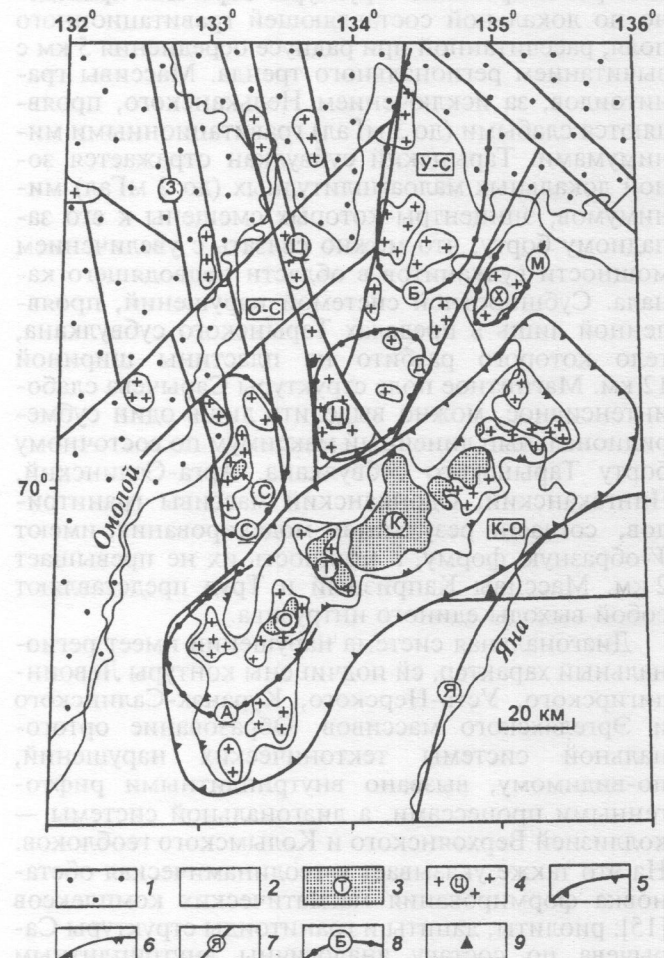


Рис. 3. Схема тектонического строения Куларского района по данным интерпретации геолого-геофизических материалов: 1 – кайнозойские осадочные образования; 2 – терригенные отложения верхоянского комплекса; 3, 4 – мезозойские массивы гранитоидов: 3 – по геологическим данным (О – Ойун-Юряхский, Т – Тарбаганахский, К – Кэрэхский, С – Солурский), 4 – по гравиметрическим данным (Ц – Центральный, Х – Хаятинский); 5, 6 – элементы Куларского гранитогнейсового купола: 5 – внешний контур (подошва), 6 – внутренний контур (кровля); 7 – разломы, выделенные по локальной составляющей гравитационного поля (З – Западный, Ц – Центральный, Я – Янский); 8 – золоторудные поля по [7] (С – Солурский, А – Суордахский, Б – Бургуатский, Д – Джутукский, М – Малыг-Хаятинский); 9 – Кючосское золотосурьмянное месторождение. Буквы в квадратах – рудные узлы (О-С – Омолов-Солурский, К-О – Кулар-Ойунский, У-С – Улахан-Сисский)

отражаются слабоинтенсивными (до 4 мГал) гравитационными минимумами. Расположенный севернее Солурский массив, относимый к агорогенным магматитам Индигирского пояса растяжения [15], судя по линейному гравитационному минимуму, к которому он приурочен, имеет субмеридиональное простиранье. Солурский и расположенные севернее невскрытые интрузивы гранитоидов локализованы в зонах, ограниченных разломами субмеридиональной системы, являющихся, по-видимому, фрагментами рифтогенных структур.

Оруденение Куларского рудного района относится к золотокварцевой, золоторедкометально-кварцевой и золотосеребро-кварцевой формациям. Куларский золоторудный район В.А. Амузинский, Г.С. Иванов [1] включают в состав субмеридиональной Кулар-Сеттедабанской золотоносной зоны, Н.А. Горячев [4] относит к субширотному Северному мегапоясу кварцевых жил, а авторы [15] — к Яно-Колымскому позднеюрско-ранненеокомовому металлогеническому поясу. Такая неопределенность в металлогеническом районировании связана, по нашему мнению, прежде всего с тектоническим положением данного района, приуроченного к разлому, разграничающему Верхоянский и Приморский геоблоки. Расположенное в пределах южного обрамления Куларского гранитогнейсового купола Кючюсское золотосурьмянное месторождение локализовано в узле пересечения Янского и субширотного разломов, в локальной составляющей гравитационного поля ему соответствует малоамплитудный максимум, что характерно для данного типа оруденения [13].

На основе предложенной схемы тектонического строения Куларского рудного района в его составе можно выделить три рудных узла (рис. 3): Кулар-Ойунский, Улахан-Сисский и Омолой-Солурский. Границы Кулар-Ойунского рудного узла соответствуют внешним контурам Куларского гранитогнейсового купола, в пределах которого интерес для поиска золоторудных объектов могут представлять невскрытые интрузивы на юго-западном и северо-восточном флангах Куларского пояса гранитоидов. Улахан-Сисский рудный узел ограничен разломами север—северо-восточного простирания, а в южной части — Центральным разломом, к этому узлу отнесено также Магыл-Хаятинское рудное поле, которое контролируется Хаятинским невскрытым интрузивом. Наибольшие перспективы на золотое оруденение могут быть связаны с невскрытыми интрузивами гранитоидов Омолой-Солурского рудного узла, ограниченного Западным и Центральным разломами. В соответствии с принятым районированием западная часть Джутукского рудного поля, контролируемая Центральным не-

вскрытым массивом гранитоидов, принадлежит Омолой-Солурскому рудному узлу, а восточная — Улахан-Сисскому.

Массивы мезозойских гранитоидов, являющиеся производными *Хараулахского гранитогнейсового купола*, на поверхности не закартированы. Его контуры охватывают Хараулахский россыпной золотоносный узел и Дыяндинско-Охоносийский золоторудный район. Рудные тела последнего локализованы в зоне интенсивной тектонической передработки графитовых и углистых сланцев пермского возраста и представлены серией кварцевых жил и прожилков. Хараулахский гранитогнейсовый купол, по-видимому, является наиболее глубокозалегающим по сравнению с другими куполами Верхояно-Колымской орогенной области, в связи с чем в глубинном разрезе его надкупольной части можно ожидать как золотосеребряное, так и полиметаллическое оруденение.

Характер размещения золотого и серебряного оруденения Верхояно-Колымской орогенной области в пределах влияния гранитогнейсовых куполов определяется, по мнению авторов, тремя факторами: 1. Составом протолита гранитогнейсового купола. Источник золота в данном случае — метабазитовые раннедокембрийские комплексы, при регрессивном метаморфизме которых золото высвобождалось и кремнекислотными флюидами транспортировалось в надкупольные области. 2. Уровнем эрозионного среза. В зависимости от уровня эрозионного среза рудно-магматической системы преобладает либо серебряное оруденение (максимальный срез, Тарынский гранитогнейсовый купол), либо золотосеребряное (промежуточный срез, Эчийский гранитогнейсовый купол), либо золотое (минимальный срез, Хараулахский гранитогнейсовый купол). 3. Направленностью гидротермального потока, а также наличием в надкупольной области черносланцевых толщ с повышенным содержанием золота и геохимических барьеров. Богатое серебряное оруденение структуры Сарычева приурочено к апикальной части Тарынского гранитогнейсowego купола, аналогичная ситуация наблюдается и в размещении золотосеребряного оруденения Чочимбал-Аркачанского рудного узла, который контролируется Эчийским гранитогнейсовым куполом (Западное Верхоянье). В связи с этим плодородия над апикальными частями слабо эродированных гранитогнейсовых куполов Верхояно-Колымской орогенной области (Эчийский и Хараулахский) можно рассматривать как потенциально перспективные на золотое и серебряное оруденение.

Работа выполнена в рамках проекта РФФИ № 02-05-64476.

## ЛИТЕРАТУРА

1. Амузинский В.А., Иванов Г.С. Металлогенез золота Верхояно-Черской провинции // Отечественная геология. 1997. № 9-10. С. 24—28.
2. Андрусенко А.М., Еловских В.В., Оксман С.С. Северо-западная часть Верхояно-Колымской складчатой области и сопредельные районы Сибирской платформы (строение доверхнепалеозойского основания) // Геологические результаты геофизических исследований в Якутской АССР. Иркутск, 1972. С. 80—92.
3. Бахарев А.Г., Зайцев А.И., Ненашев Н.И., Избеков П.Э. Строение и магматизм Верхнеиндигирской кольцевой структуры // Отечественная геология. 1997. № 9. С. 15—19.
4. Горячев Н.А. Геология мезозойских золотокварцевых жильных поясов Северо-Востока Азии. Магадан: СВКНИИ ДВО РАН, 1998. 210 с.
5. Гриненко В.С., Стогний Г.А. Эчийский гранитогнейсовый купол — рудоконтролирующая структура Западного

- Верхоянья // Геофизические методы при разведке недр и экологических исследованиях. В. 2. Томск: Изд-во ТПУ, 2003. С. 205–207.
6. Л е т н и к о в Ф.А., Б а л ы ш е в С.О., В а ш к е в и ч В.В. Взаимосвязь процессов гранитизации, метаморфизма и тектоники // Геотектоника. 2000. №1. С. 3–22.
  7. Минералогия и геохимия золота Куларского района / В.А. Амузинский, Г.С. Анисимова, В.А. Баландин и др. Якутск: ЯФ СО АН СССР, 1988. 135 с.
  8. Р у д и ч К.Н. Магматизм хребта Сарычева: М.: Гостехиздат, 1959. 184 с.
  9. С а в а Н.Е., П л я ш к е в и ч А.А., П е т р о в С.Ф. Пояснительная записка к топоминералогической карте серебра Северо-Востока России масштаба 1:5 000 000. Магадан: СВКНИИ ДВО РАН, 1998. 132 с.
  10. С а л о п Л.И. Геологическое развитие Земли в докембрии. Л.: Недра, 1982. 343 с.
  11. С т о г н и й В.В., С т о г н и й Г.А. Тектоническая расслоенность Алдано-Станового геоблока. Новосибирск: Наука, 1997. 151 с.
  12. С т о г н и й Г.А., С т о г н и й В.В. Строение литосферы Верхояно-Колымской орогенной области // Отечественная геология. 2000. № 5. С. 41–44.

УДК 551.243.8 (517)

А.Е. ФОМЕНКО

## СТРУКТУРНЫЕ ОСОБЕННОСТИ ЦАГАН-ШИБЭТИНСКОЙ ЗОНЫ РАЗЛОМОВ В ЗАПАДНОЙ МОНГОЛИИ

По материалам крупномасштабной геологической съемки охарактеризовано геологическое строение центральной части Цаган-Шибэтинской зоны разломов. Показано, что эта структура сформировалась в результате позднедевонско-ранекаменноугольной коллизии Монголо-Алтайской и Монголо-Забайкальской складчатых систем. Полученные результаты исследований могут быть использованы в мобилистических реконструкциях и металлогенических построениях обширного региона Центральной Азии.

Цаган-Шибэтинская структура выделена А.Б. Дергуновым и рассматривалась как каледонская подзона Монголо-Алтайской структурно-формационной зоны (складчатой системы), исходя из концепции геосинклинального развития как процесса преобразования коры океанического типа в кору континентальную [3, 5, 6].

В 1987–1991 гг. вышеизложенная структура изучена на 40-километровом отрезке между р. Хархира-гол (на севере) и оз. Хара-Уснур (на юге) при геологической съемке масштаба 1:50 000 Хархиринской ГСП «Совгек» [10]. На западе Монгольско-Алтайской структурно-формационной зоны аналогичные работы проводили Цаганнурская и Кобдогольская геолого-съемочные партии. В результате получен новый материал, позволивший уточнить строение этой структуры.

Изученная часть Цаган-Шибэтинской зоны — северо-западное звено главной Монгольской сутуры, спаявшее Озерную (на востоке) и Монголо-Алтайскую (на западе) структурно-формационные зоны (СФЗ) (рис. 1). Она представлена серией близмеридиональных линейных (ширина от 4 до 7 км) тектонических блоков (пластин), сложенных разновозрастными породами, которые совмещены (скучены) в результате многократных тектонических воздействий (рис. 2).

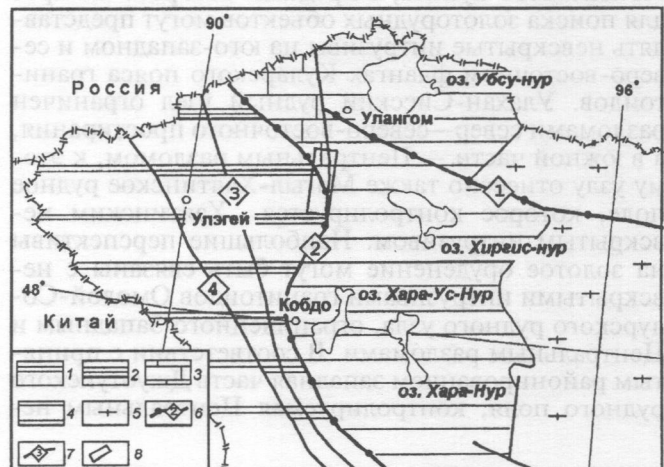
13. С т о г н и й Г.А., С т о г н и й В.В., Б а б к и н а Т.Г. Адыча-Тарынская золотосульфидная зона: геолого-геофизический аспект // Отечественная геология. 2003. № 6. С. 75–78.
14. С т о г н и й Г.А., С т о г н и й В.В., З а й ц е в А.И. Модель формирования рудно-магматической структуры Сарычева (Северо-Восток России) // Науковий вісник національного гірничого університету. (Дніпропетровськ) 2003. № 9. С. 36–38.
15. Тектоника, геодинамика и металлогенез территории Республики Саха (Якутия). М.: МАИК «Наука/Интерпериодика», 2001. 571 с.
16. Ф и л и м о н о в Ю.А., С у л е й м а н о в А.М. Структурный контроль серебряного оруденения в Верхне-Тарынском рудном узле // Отечественная геология. 1994. № 8. С. 17–24.
17. H i c k m a n A.H. Crustal evolution of the Pilbara Block // Geol. Soc. Austral. Spec. Publ. 1981. N 7. P. 193–204.

Институт геологии алмаза

и благородных металлов СО РАН

Якутский государственный университет

Рецензент — А.К. Корсаков



**Рис. 1. Схема тектонического районирования Северо-Западной Монголии:** 1, 2 — Монголо-Алтайская система, включающая структурно-формационные зоны: Алтайскую (1), Кобдинскую (2). 3–5 — Монголо-Забайкальская система со структурно-формационными зонами: Цаган-Шибэтинская (3), Озерная (4), докембрийским Тувино-Монгольским массивом (5). 6, 7 — разломы; 6 — главные коллизионные швы: Хангайский (1), Цаган-Шибэтинский (2); 7 — глубинные: Кобдинский (3), Толбонурский (4); 8 — район исследования